

La clase pasada dejamos como ejercicio plantear las integrales que definen el campo eléctrico de las configuraciones de carga del ejercicio 8 (Guía 4)

Recordemos:
$$\vec{E}(\vec{r}) = \int \frac{k dq(\vec{r}')}{|\vec{r} - \vec{r}'|^3} (\vec{r} - \vec{r}')$$

$$k = \frac{1}{4\pi\epsilon_0} = 9 \cdot 10^9 \frac{\text{Nm}^2}{\text{C}^2}$$

\vec{r}' : vector que recorre la distribución de carga.

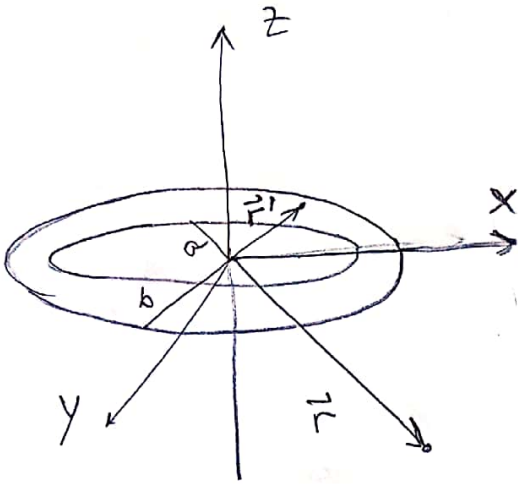
\vec{r} : el punto del espacio en el que evaluo el campo.

$$dq(\vec{r}') = \begin{cases} \lambda(\vec{r}') dl' & \rightarrow \text{distribución lineal.} \\ \sigma(\vec{r}') dA' & \rightarrow \text{dist. superficial.} \\ \rho(\vec{r}') dV' & \rightarrow \text{dist. volumétrica.} \end{cases}$$

Veamos algunos ejemplos...

pueden tomar otras! (B)

Corona circular:



$$\vec{r} = x\hat{x} + y\hat{y} + z\hat{z} \text{ (cartesianas)}$$

$$\vec{r}' = r' \cos\varphi' \hat{x} + r' \sin\varphi' \hat{y}$$

(cilíndricas)
($a \leq r' \leq b$)

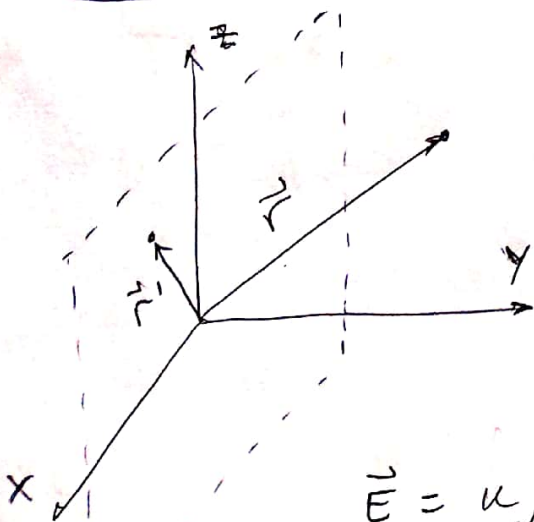
$$dA' = dl_{\varphi'} dl_r = r' d\varphi' dr'$$

$$\sigma(\vec{r}') = \sigma = \text{cte.}$$

$$\vec{E}(\vec{r}) = \int \frac{k dq'(\vec{r}') (\vec{r} - \vec{r}')}{|\vec{r} - \vec{r}'|^3} = \int \frac{k \sigma dA' (\vec{r} - \vec{r}')}{|\vec{r} - \vec{r}'|^3}$$

$$= k\sigma \int_0^b \int_0^{2\pi} \frac{r' d\varphi' dr' [(x - r' \cos\varphi')\hat{x} + (y - r' \sin\varphi')\hat{y} + z\hat{z}]}{[(x - r' \cos\varphi')^2 + (y - r' \sin\varphi')^2 + z^2]^{3/2}}$$

Plano infinito:



$$\vec{r} = x\hat{x} + y\hat{y} + z\hat{z} \text{ (cartesianas)}$$

$$\vec{r}' = x'\hat{x} + z'\hat{z} \text{ (cartesianas)}$$

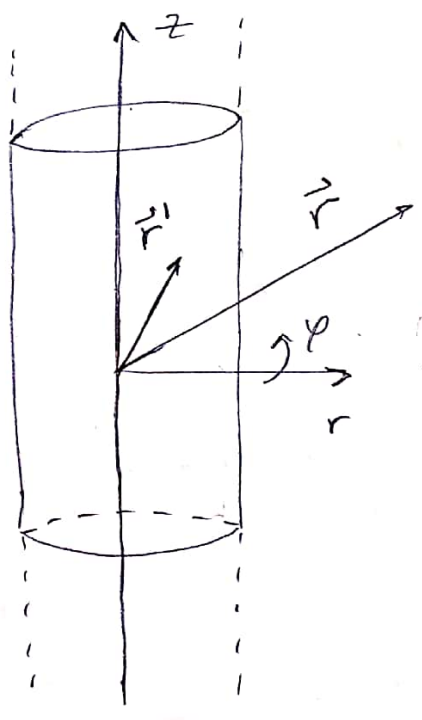
$$dA' = dl_z' dl_x' = dz' dx'$$

$$\rho(\vec{r}') = \rho = \text{cte.}$$

$$\vec{E} = k\rho \int_{-\infty}^{\infty} \int_{-\infty}^{\infty} \frac{dz' dx' [(x - x')\hat{x} + y\hat{y} + (z - z')\hat{z}]}{[(x - x')^2 + y^2 + (z - z')^2]^{3/2}}$$

Cilindro en volumen de radio R :

$$\rho(\vec{r}') = \rho_0 \frac{r'}{R}$$



Tomo coord. cilindricas:

$$\vec{r} = r \cos \varphi \hat{x} + r \sin \varphi \hat{y} + z \hat{z}$$

$$\vec{r}' = r' \cos \varphi' \hat{x} + r' \sin \varphi' \hat{y} + z' \hat{z}$$

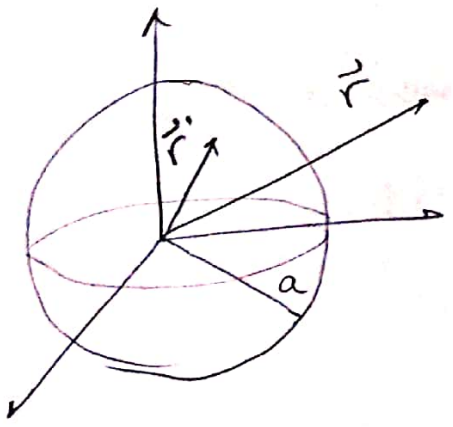
$$dV' = dl_{\varphi}' dl_r' dl_z' = r' d\varphi' dr' dz'$$

$$\vec{E}(\vec{r}) = \int_{-\infty}^{\infty} \int_0^R \int_0^{2\pi} k \rho_0 \frac{r'}{R} \cdot r' d\varphi' dr' dz' \frac{[(r \cos \varphi - r' \cos \varphi') \hat{x} + (r \sin \varphi - r' \sin \varphi') \hat{y} + (z - z') \hat{z}]}{[(r \cos \varphi - r' \cos \varphi')^2 + (r \sin \varphi - r' \sin \varphi')^2 + (z - z')^2]^{3/2}}$$

Esfera en volumen de radio a :

Tomo coord. esfericas:

$\rho = \text{cte}$ uniforme.



$$\vec{r} = r \sin \theta \cos \varphi \hat{x} + r \sin \theta \sin \varphi \hat{y} + r \cos \theta \hat{z}$$

$$\vec{r}' = r' \sin \theta' \cos \varphi' \hat{x} + r' \sin \theta' \sin \varphi' \hat{y} + r' \cos \theta' \hat{z}$$

$$dV' = dl_r' dl_{\varphi}' dl_{\theta}' = r'^2 \sin \theta' dr' d\theta' d\varphi'$$

$$\vec{E}(\vec{r}) = \frac{\int_0^{2\pi} \int_0^{\pi} \int_0^a \rho r'^2 \sin \theta' dr' d\theta' d\varphi' \left[(r \sin \theta \cos \varphi - r' \sin \theta' \cos \varphi') \hat{x} + (r \sin \theta \sin \varphi - r' \sin \theta' \sin \varphi') \hat{y} + (r \cos \theta - r' \cos \theta') \hat{z} \right]}{\left[(r \sin \theta \cos \varphi - r' \sin \theta' \cos \varphi')^2 + (r \sin \theta \sin \varphi - r' \sin \theta' \sin \varphi')^2 + (r \cos \theta - r' \cos \theta')^2 \right]^{3/2}} \quad \textcircled{D}$$

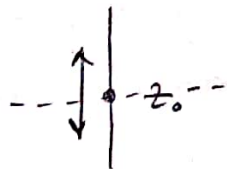
Cuando la distribución de carga tiene simetría: calcular \vec{E} se simplifica mucho: todo se reduce a ver qué transformaciones dejan invariante a la distribución de carga.

Ejemplo 1 Hilos ∞ en \hat{z} Pienso en coord cilíndricas.

Simetría 1: rotación alrededor de $\hat{z} \Rightarrow |\vec{E}|$ no depende de la coordenada φ (en φ).

Simetría 2: traslación en $\hat{z} \Rightarrow |\vec{E}|$ no depende de la coordenada z (en z).

Simetría 3: Reflexión en $z_0 \Rightarrow \vec{E}$ no puede apuntar en \hat{z} ni $\hat{\varphi}$

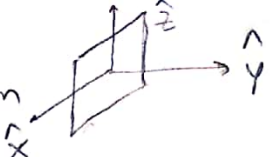


Nota: Para los que lean las notas, sugiero ver el video!

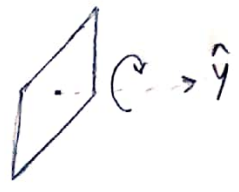
$$\Rightarrow \boxed{\vec{E}(\vec{r}) = E(r) \hat{r}}$$

(cilíndricas!)

Ejemplo 2

Plano ∞ en $(x-z)$ en \hat{x}  , Piensa en cartesianas. \textcircled{E}

Simetría 1 : rotación alrededor de $\hat{y} \Rightarrow \vec{E}$ no puede apuntar en \hat{z} ni \hat{x}



Simetría 2 : rotaciones en \hat{z} y $\hat{x} \Rightarrow |\vec{E}|$ no depende de las coordenadas z y x
(en z y x)

$\Rightarrow \vec{E}(\vec{r}) = E(y) \hat{y}$ (cartesianas!)

Simetría 3 : reflexión respecto del plano $\Rightarrow E(y) = -E(-y)$
($y \leftrightarrow -y$)

Ejemplo 3

cilindro $\infty \rightarrow$ es igual que el hilo!
(Ejemplo 1)

Ejemplo 4

Esfera cargada, Piensa en coordenadas esféricas.

Simetría 1 : rotaciones en φ y $\theta \Rightarrow |\vec{E}|$ no depende de coord. φ ni θ .

Simetría 2 : rotaciones alrededor de $\hat{r} \Rightarrow \vec{E}$ no puede apuntar en $\hat{\varphi}$ ni $\hat{\theta}$

$\Rightarrow \vec{E}(\vec{r}) = E(r) \hat{r}$ (Esféricas!).

Ley de Gauss

(F)

$$\vec{E}(\vec{r}) = \int_V k \, dq(\vec{r}') \frac{(\vec{r} - \vec{r}')}{|\vec{r} - \vec{r}'|^3}$$

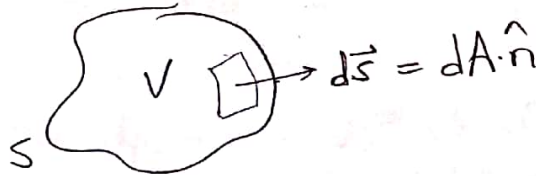
$$\vec{\nabla} \cdot \vec{E} = 4\pi k \rho(\vec{r})$$

$$Q = \int_V \rho(\vec{r}) \, dV = \frac{1}{4\pi k} \int_V \vec{\nabla} \cdot \vec{E} \, dV$$

$$= \frac{1}{4\pi k} \oint_{S(V)} \vec{E} \cdot d\vec{s}$$

$$\Rightarrow \oint_{S(V)} \vec{E} \cdot d\vec{s} = 4\pi k Q_{\text{enc}}$$

Teorema de la divergencia.

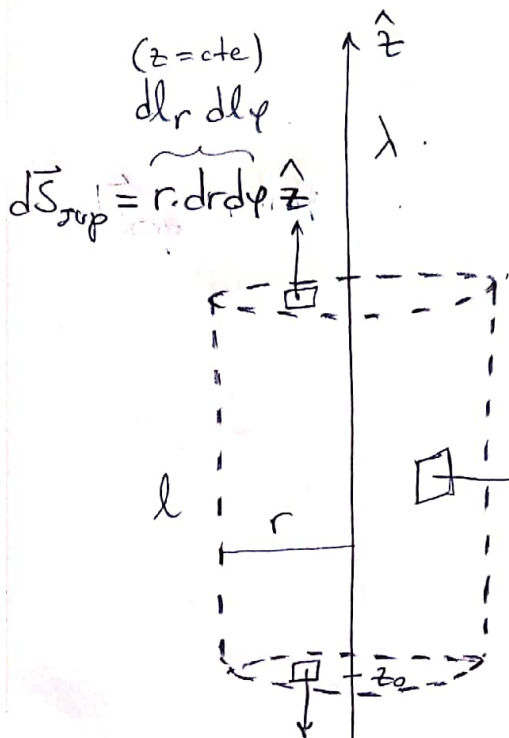


Esta ley me da el flujo $\oint \vec{E} \cdot d\vec{s}$ a través de una superficie. Esto es menos información que saber cuánto vale \vec{E} .

Pero! Simetrías \oplus Gauss \rightarrow En ocasiones me dice cuánto vale \vec{E} .

Hilo infinito con densidad lineal de carga uniforme λ

(6)



$$d\vec{S}_{sup} = r \cdot dr \cdot d\varphi \cdot \hat{z}$$

$$d\vec{S}_{lat} = r \cdot d\varphi \cdot dz \cdot \hat{r}$$

$dz \cdot d\varphi$
($r = cte$)

$$d\vec{S}_{inf} = -r \cdot dr \cdot d\varphi \cdot \hat{z}$$

$dr \cdot d\varphi$
($z = cte$)

Para aplicar Gauss me tengo que inventar una superficie "sup. Gaussiana".

Tomo coord cilindricas.

Recordar x simetria:

$$\vec{E}(\vec{r}) = E(r) \hat{r}$$

Aplica Gauss

$$\oint_S \vec{E} \cdot d\vec{S} = \int_{S_{lat}} \vec{E} \cdot d\vec{S}_{lat} + \int_{S_{sup}} \vec{E} \cdot d\vec{S}_{sup} + \int_{S_{inf}} \vec{E} \cdot d\vec{S}_{inf}$$

$$= \int_{S_{lat}} E(r) \cdot \hat{r} \cdot d\vec{S}_{lat} + \int_{S_{sup}} E(r) \hat{r} \cdot r \cdot dr \cdot d\varphi \cdot \hat{z} + \int_{S_{inf}} E(r) \hat{r} \cdot (-r \cdot dr \cdot d\varphi \cdot \hat{z})$$

$$= \int_{S_{lat}} E(r) \hat{r} \cdot r \cdot d\varphi \cdot dz \cdot \hat{r} = E(r) \cdot r \int_{z_0}^{z_0+l} \int_0^{2\pi} d\varphi \cdot dz$$

$$\Rightarrow \oint_S \vec{E} \cdot d\vec{S} = E(r) \cdot r \cdot 2\pi l$$

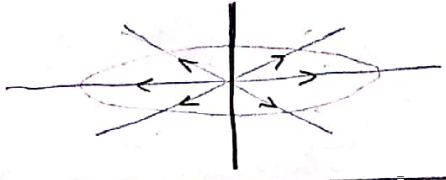
|| \rightarrow Gauss!

$$E(r) = \frac{2k\lambda}{r}$$

$$4\pi k Q_{enc} = 4\pi k \lambda \cdot l$$

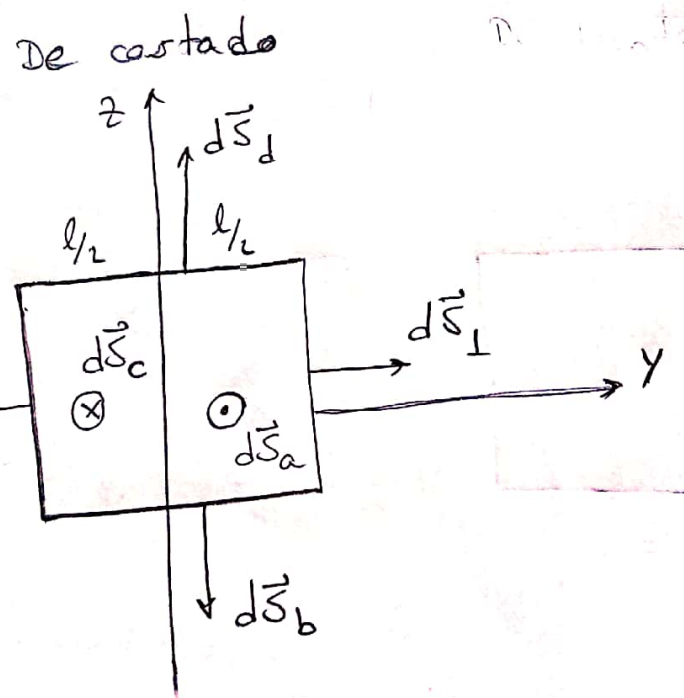
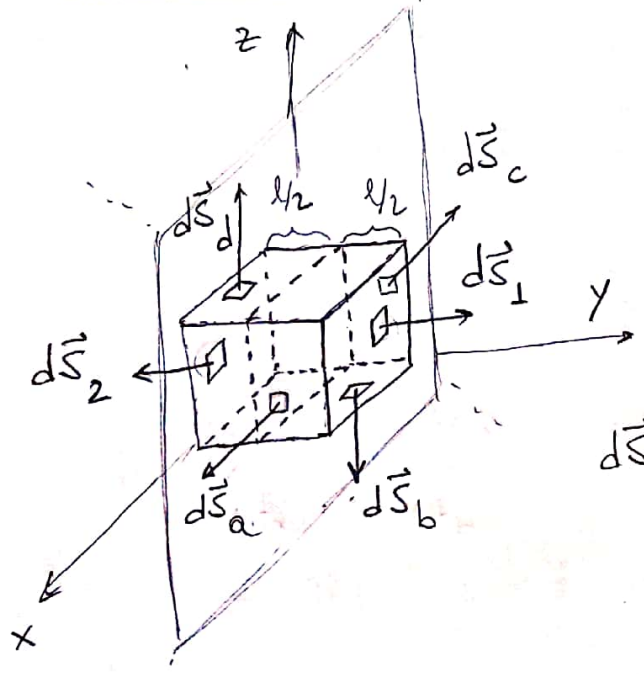
$$\Rightarrow \vec{E}(\vec{r}) = E(r) \hat{r} = \frac{2k\lambda}{r} \hat{r}$$

coincide con el
cálculo analítico
hecho la clase pasada
11/6 página (P)



líneas de flujo
son radiales.

Plano infinito con densidad sup. de carga σ



(x Simetría :

$$\begin{cases} \vec{E}(\vec{r}) = E(y) \hat{y} \\ \text{con } E(y) = -E(-y) \end{cases}$$

Diferenciales de Área:

(I)

$$d\vec{S}_1 = dz dx \hat{y}$$

$$d\vec{S}_a = dz dy \hat{x}$$

$$d\vec{S}_2 = - dz dx \hat{y}$$

$$d\vec{S}_b = - dx dy \hat{z}$$

$$d\vec{S}_c = - dz dy \hat{x}$$

$$d\vec{S}_d = dx dy \hat{z}$$

Gauss:

$$\oint_{\text{cubo}} \vec{E} \cdot d\vec{S} = \int_1 \vec{E}\left(\frac{l}{2}\right) \hat{y} \cdot \overbrace{dz dx \hat{y}}^{d\vec{S}_1} + \int_2 \vec{E}\left(-\frac{l}{2}\right) \hat{y} \cdot \overbrace{(- dz dx \hat{y})}^{d\vec{S}_2} + \int_a \cancel{E(y) \hat{y} \cdot \overbrace{dz dy \hat{x}}^{d\vec{S}_a}} + \int_b \cancel{E(y) \hat{y} \cdot \overbrace{(- dx dy \hat{z})}^{d\vec{S}_b}} + \int_c \cancel{E(y) \hat{y} \cdot \overbrace{(- dz dy \hat{x})}^{d\vec{S}_c}} + \int_d \cancel{E(y) \hat{y} \cdot \overbrace{dx dy \hat{z}}^{d\vec{S}_d}}$$

$$= E\left(\frac{l}{2}\right) \cdot l^2 - \underbrace{E\left(-\frac{l}{2}\right)}_{=-E\left(\frac{l}{2}\right)} l^2 = 2E\left(\frac{l}{2}\right) \cdot l^2$$

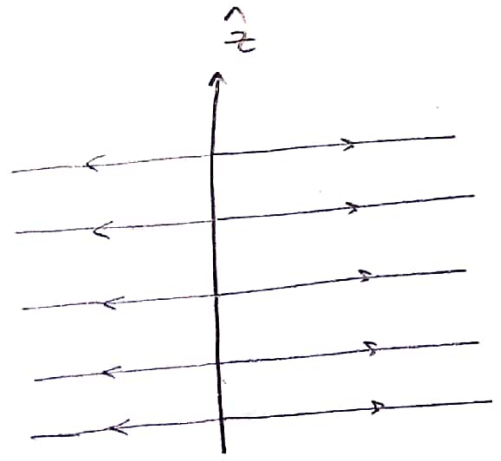
$$\times \text{Gauss}_{\infty} = 4\pi k Q_{\text{enc}} = 4\pi k \sigma l^2$$

$$\Rightarrow 2 E(l/2) l^2 = 4\pi k \sigma l^2 \Rightarrow E(l/2) = 2\pi k \sigma = \frac{\sigma}{2\epsilon_0} \quad \textcircled{J}$$

No depende de l !

$$\Rightarrow E(y) = \begin{cases} \frac{\sigma}{2\epsilon_0} & y > 0 \\ -\frac{\sigma}{2\epsilon_0} & y < 0 \end{cases}$$

$$\Rightarrow \vec{E}(\vec{r}) = \begin{cases} \frac{\sigma}{2\epsilon_0} \hat{y} & y > 0 \\ -\frac{\sigma}{2\epsilon_0} \hat{y} & y < 0 \end{cases}$$



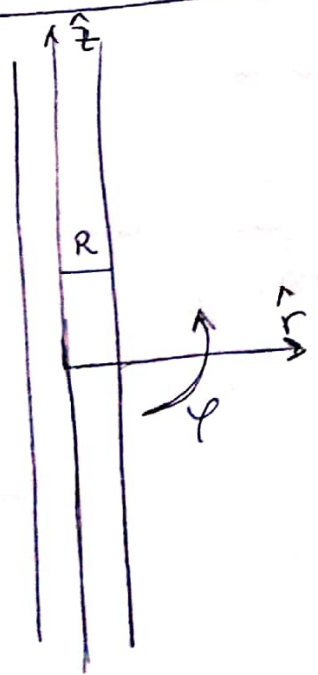
línea de flujo.

El campo es discontinuo en $y=0$.

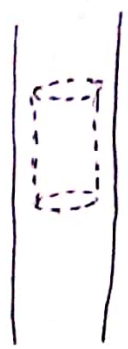
Cilindro infinito de radio R con densidad $\rho = \rho_0 \frac{r}{R}$.

Uso cilíndrico

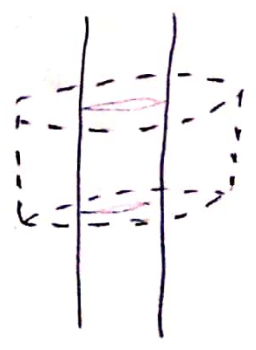
Tomo superficie Gaussiana cilíndrica, y considero 2 casos:



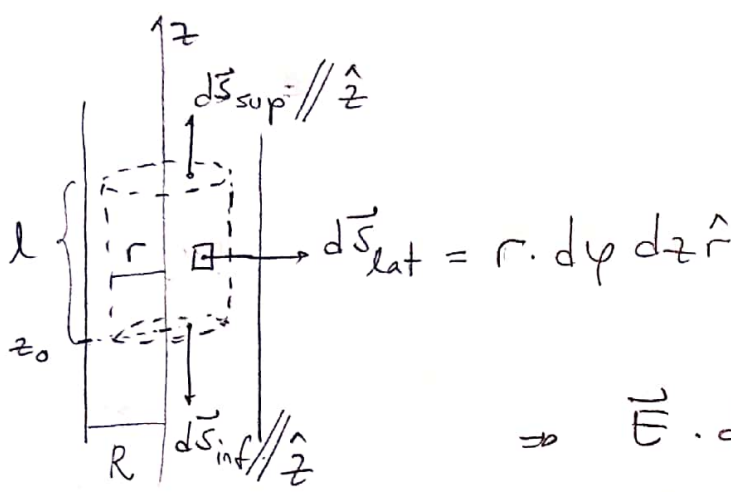
1



2



1



Simetria
 $\vec{E} = E(r) \hat{r}$

$$\Rightarrow \vec{E} \cdot d\vec{S}_{sup} = 0$$

$$\vec{E} \cdot d\vec{S}_{inf} = 0$$

$$\Rightarrow \oint \vec{E} \cdot d\vec{S} = \int_{S_{lat}} E(r) \cdot \hat{r} \cdot r d\varphi dz \hat{r} = E(r) \cdot r \cdot 2\pi l$$

$$= 4\pi k Q_{enc} = 4\pi k \int \rho(r) \cdot r d\varphi dz dr$$

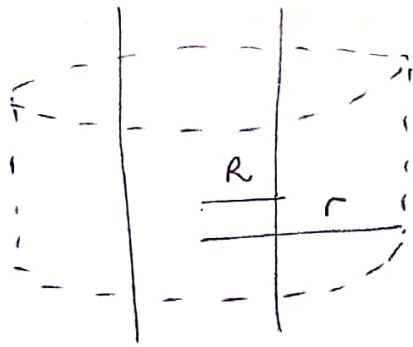
x Gauss

$$= 4\pi k \int_0^{r(z_0+l)} \int_0^{2\pi} \int_0^R \rho_0 r^2 d\varphi dz dr$$

$$= 4\pi k \cdot 2\pi l \cdot \frac{r^3}{3} \frac{\rho_0}{R}$$

$$\Rightarrow \boxed{E(r) = \frac{4\pi k}{3} \frac{r^2}{R} \rho_0 \hat{r}} \text{ para } r \leq R$$

2)



$$\oint \vec{E} \cdot d\vec{S} = \text{igual que antes} \\ = E(r) \cdot r \cdot 2\pi l$$

2)

pero ahora,

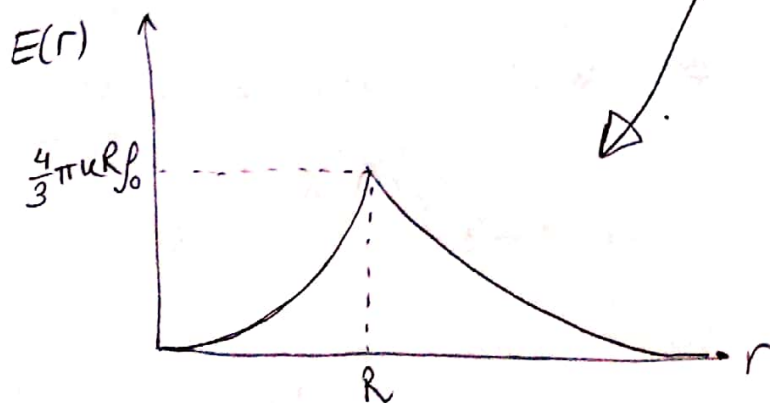
$$4\pi k Q_{enc} = 4\pi k \int_0^R \int_{z_0}^{z_0+l} \int_0^{2\pi} \frac{\rho_0}{R} r^2 dp dz dr$$

$$= 4\pi k \frac{\rho_0}{R} \cdot 2\pi l \cdot \frac{R^3}{3} =$$

⇒ x Gauss,

$$E(r) = \frac{4}{3} \pi k \frac{R^2}{r} \rho_0 \hat{r} \quad \text{para } r \gg R$$

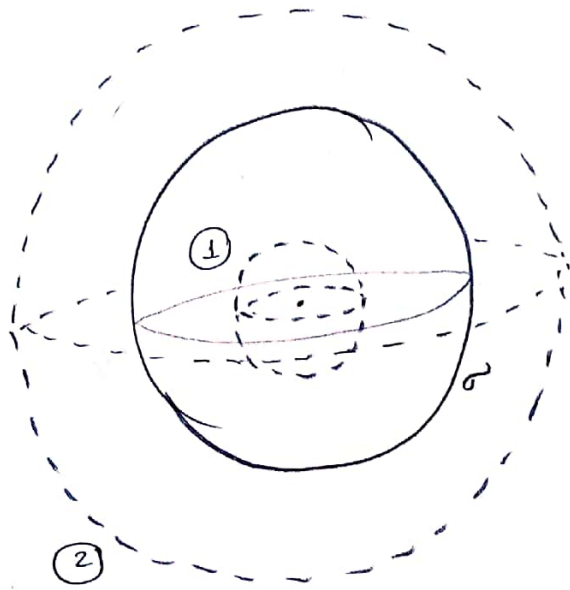
$$E(\vec{r}) = \begin{cases} \frac{4}{3} \pi k \frac{r^2}{R} \rho_0 \hat{r} & r \leq R \\ \frac{4}{3} \pi k \frac{R^2}{r} \rho_0 \hat{r} & r \gg R \end{cases}$$



Superfície esférica de raio a com densidade σ

(11)

Considero coord. esféricas e das superfícies Gaussianas.



x Simetria $\vec{E} = E(r) \hat{r}$

Tanto em (1) como em (2)

$$\oint_{S_{\text{Gauss}}} \vec{E} \cdot d\vec{s} = \int_0^{2\pi} \int_0^{\pi} \underbrace{E(r) \hat{r}}_{\vec{E}} \cdot \underbrace{r^2 \sin \theta \, d\theta \, d\phi \, \hat{r}}_{d\vec{s}}$$

$$= E(r) r^2 2\pi (-\cos \theta) \Big|_0^{\pi} = 4\pi r^2 E(r)$$

Poró ...

(1) $4\pi k Q_{\text{enc}} = 0 \Rightarrow 4\pi r^2 E(r) = 0 \quad (r \leq R)$

(2) $4\pi k Q_{\text{enc}} = 4\pi k \cdot 4\pi R^2 \sigma \Rightarrow 4\pi r^2 E(r) = 4\pi k 4\pi R^2 \sigma$
 $(r \geq R)$

$$\Rightarrow \vec{E}(\vec{r}) = \begin{cases} 0 & r \leq R \\ 4\pi k \sigma \frac{R^2}{r^2} \hat{r} & r \geq R \end{cases}$$

Nota... poró $r \geq R$
 $\vec{E} = k \frac{Q}{r^2} \hat{r}$ com $Q = 4\pi R^2 \sigma$

Potencial eléctrico

(N)

$$V(\vec{r}) = \int \frac{k dq(\vec{r}')}{|\vec{r} - \vec{r}'|}$$

(carga continua)

$$V(\vec{r}) = \frac{k q}{|\vec{r} - \vec{r}'|}$$

(carga puntual)

Compo escalar
continuo.

Es un campo escalar, mucho mas fácil de calcular!

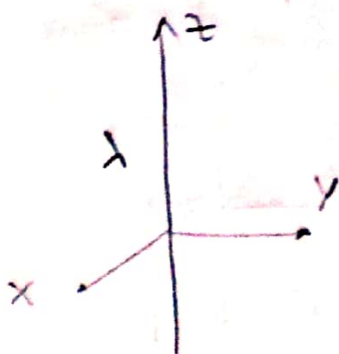
Luego, $\vec{E}(\vec{r}) = -\vec{\nabla} V(\vec{r})$

Cartesianas: $\vec{\nabla} V = \frac{\partial V}{\partial x} \hat{x} + \frac{\partial V}{\partial y} \hat{y} + \frac{\partial V}{\partial z} \hat{z}$

Cilíndricas: $\vec{\nabla} V = \frac{\partial V}{\partial r} \hat{r} + \frac{1}{r} \frac{\partial V}{\partial \phi} \hat{\phi} + \frac{\partial V}{\partial z} \hat{z}$

Esféricas: $\vec{\nabla} V = \frac{\partial V}{\partial r} \hat{r} + \frac{1}{r} \frac{\partial V}{\partial \theta} \hat{\theta} + \frac{1}{r \sin \theta} \frac{\partial V}{\partial \phi} \hat{\phi}$

Hilo ∞ con densidad λ



$$\vec{r}' = z' \hat{z}$$

$$\vec{r} = y \hat{y}$$

$$V(\vec{r}) = \int_{-\infty}^{\infty} \frac{k \lambda dz'}{\sqrt{y^2 + z'^2}} + cte.$$

$$= k \lambda \log \left[\sqrt{y^2 + z'^2} + z' \right]_{-\infty}^{\infty} + cte$$

$$= \mu \lambda \lim_{L \rightarrow \infty} \log \left[\frac{\sqrt{y^2 + z'^2} + z'}{\sqrt{y_0^2 + z'^2} + z'} \right]_{-L}^L + \text{cte.} \quad (1)$$

Esto diverge ! \Rightarrow tiempo que elegir $\text{cte} = \infty$ para cancelar la divergencia.

pido que $V(\vec{r})$ se anule en y_0 .

$$\Rightarrow V(y_0) = \mu \lambda \log \left[\frac{\sqrt{y_0^2 + z'^2} + z'}{\sqrt{y_0^2 + z'^2} + z'} \right]_{-\infty}^{\infty} + \text{cte} = 0.$$

$$\Rightarrow \text{cte} = - \mu \lambda \log \left[\frac{\sqrt{y_0^2 + z'^2} + z'}{\sqrt{y_0^2 + z'^2} + z'} \right]_{-\infty}^{\infty}.$$

$$\Rightarrow V(\vec{r}) = \mu \lambda \lim_{L \rightarrow \infty} \left\{ \log \left[\frac{\sqrt{y^2 + z'^2} + z'}{\sqrt{y_0^2 + z'^2} + z'} \right]_{-L}^L \right\}$$

$$= \mu \lambda \lim_{L \rightarrow \infty} \left\{ \log \left[\frac{\sqrt{y^2 + z'^2} + z'}{\sqrt{y_0^2 + z'^2} + z'} \right]_{-L}^L \right\}$$

$$= \mu \lambda \lim_{L \rightarrow \infty} \left\{ \log \left[\frac{|z'| \left(1 + \frac{1}{2} \frac{y^2}{z'^2} \right) + z'}{|z'| \left(1 + \frac{1}{2} \frac{y_0^2}{z'^2} \right) + z'} \right]_{-L}^L \right\}$$

$$= - \mu \lambda \lim_{z' \rightarrow -\infty} \left\{ \log \left[\frac{\frac{1}{2} \frac{y^2}{z'^2} |z'|}{\frac{1}{2} \frac{y_0^2}{z'^2} |z'|} \right] \right\} = - \mu \lambda \log \left(\frac{y^2}{y_0^2} \right)$$

$$\Rightarrow V(\vec{r}) = -2k\lambda \log\left(\frac{y}{y_0}\right)$$

(P)

pero y es radial en el punto que lo elegi ($x=0$).

$$\Rightarrow \boxed{V(\vec{r}) = -2k\lambda \log\left(\frac{r}{r_0}\right)}$$

Verifíco: $\boxed{\vec{E}(\vec{r}) = -\vec{\nabla} V(\vec{r}) = -\frac{\partial V}{\partial r} \hat{r} = +\frac{2k\lambda}{r} \hat{r}}$

↙
cilíndricas

Es lo que
obtuimos en
la p 11/6 pag (P).
Clare hay pag

Potencial "lejos" de una distribución de carga

Desarrollo multipolar:

$$V(\vec{r}) = k \frac{Q}{|\vec{r}|} + k \frac{\vec{p} \cdot \vec{r}}{|\vec{r}|^3} + \dots$$

(Monopolo) + (Dipolo) + (Cuadrupolo) + ...

$$Q = \text{carga total} = \begin{cases} \int dq(\vec{r}') & \text{(continua)} \\ \sum_i q_i & \text{(puntual)} \end{cases}$$

$$\vec{p} = \text{momento dipolo eléctrico} = \begin{cases} \int dq(\vec{r}') \cdot \vec{r}' & \text{(continua)} \\ \sum_i q_i \vec{r}_i & \text{(puntual)} \end{cases}$$

Si tengo 2 sistemas de referencia O y O' /

$$\vec{r}_{O'} = \vec{r}_{OO'} + \vec{r}_O \Rightarrow \vec{p}_O = \int dq \cdot \vec{r}_O = \int dq (\vec{r}_{O'} - \vec{r}_{OO'})$$

$$= \vec{p}_{O'} - \vec{r}_{OO'} Q$$

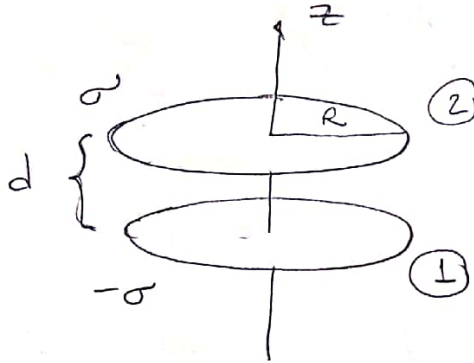
$$\Rightarrow \vec{p}_{O'} = \vec{p}_O + Q \vec{r}_{OO'}$$

Si $Q = 0 \Rightarrow \vec{p}$ no depende del sist. ref.

Problema 17 c

(R1)

Potencial y campo eléctrico a gran distancia sobre el eje de simetría de:



$$Q = \pi R^2 \sigma + \pi R^2 (-\sigma) = 0$$

$$\vec{p} = \int_{\textcircled{1}} (-\sigma) dA_1 \vec{r}_1' + \int_{\textcircled{2}} \sigma \cdot dA_2 \vec{r}_2'$$

$$= -\sigma \int_0^{2\pi} \int_0^R r' dr' d\varphi' \left[r' \cos \varphi' \hat{x} + r' \sin \varphi' \hat{y} - \frac{d}{2} \hat{z} \right]$$

$$+ \sigma \int_0^{2\pi} \int_0^R r' dr' d\varphi' \left[r' \cos \varphi' \hat{x} + r' \sin \varphi' \hat{y} + \frac{d}{2} \hat{z} \right]$$

$$= 2 \times \left(+\sigma \frac{R^2}{2} \cdot 2\pi \cdot \frac{d}{2} \hat{z} \right) = +\pi \sigma d R^2 \hat{z}$$

$$\Rightarrow V(\vec{z}) = \frac{kQ}{|\vec{r}|} + k \frac{\vec{p} \cdot \vec{r}}{|\vec{r}|^3} = \frac{k \pi \sigma d R^2 \hat{z} \cdot \hat{z}}{z^3} = \frac{k \pi \sigma d R^2}{z^2}$$

$\vec{r} = z \hat{z}$ eje de simetría

Campo eléctrico lejos sobre \hat{z} :

(5)

x simetría $\vec{E} = E(z) \hat{z}$

$$E(z) = - \frac{\partial V}{\partial z} = \frac{2k\pi\sigma d R^2}{z^3} \Rightarrow \vec{E}(z) = \frac{2k\pi\sigma d R^2}{z^3} \hat{z}$$